

مقایسه چهار روش مکان‌یابی در کشاورزی به کمک سامانه موقعیت‌یاب جهانی و واحد اندازه‌گیری ماند

هادی گلی^۱* - سعید مینایی^۲ - علی جعفری^۳ - علیرضا کیهانی^۴ - علی حاجی احمد^۵ - حمید عبدالملکی^۶ -

علی محمد بر قعی^۷

تاریخ دریافت: ۹۲/۱/۳۰

تاریخ پذیرش: ۹۲/۷/۲۱

چکیده

بهمنظور ارزیابی میزان دقت روش‌های مکان‌یابی، در این تحقیق چهار روش مختلف، توسط حرکت یک روبات کنترل از راه دور بر روی یک مسیر معین مورد مقایسه قرار گرفت. روش‌های مقایسه شده عبارتند از: به کارگیری یک واحد مکان‌یاب جهانی (GPS)، تلفیق داده‌های سه‌بعدی GPS، استفاده از یک واحد اندازه‌گیری ماند (IMU) به تهیای و تلفیق داده‌های GPS/IMU. مقایسه این چهار روش نشان داد که استفاده از تلفیق داده‌های سامانه مکان‌یاب جهانی و واحد اندازه‌گیری ماند به کمک فیلتر کالمن، نسبت به روش‌های دیگر، دقت بالاتری در مکان‌یابی بدست می‌دهد؛ به طوری که ریشه میانگین مربعات خطای این روش $23\text{ cm}^2/4$ بود. به کارگیری سه‌بعدی GPS به طور همزمان که در موقعیت‌های ثابت و با فاصله نسبتاً دور از یکدیگر نصب شده‌اند، نیز با ریشه میانگین مربعات خطای $31/3\text{ cm}^2$ در رتبه بعدی این مقایسه قرار گرفت. همچنین بررسی داده‌های بدست آمده از واحد اندازه‌گیری ماند نشان داد که کاربرد این وسیله به تنها یکی، بدليل وجود خطاهای تجمعی، برای تعیین موقعیت مناسب نمی‌باشد.

واژه‌های کلیدی: تلفیق داده، سامانه مکان‌یاب جهانی، فیلتر کالمن، واحد اندازه‌گیری ماند

٤٣

به کارگیری انواع سامانه‌های مکان‌یاب به‌ویژه سامانه مکان‌یاب جهانی (GNSS) در حوزه کشاورزی دقیق هر روز کاربرد پیشتری پیدا می‌کند. به عنوان مثال، در گذشته تعیین نقاط نمونه‌برداری خاک با دشواری زیادی همراه بود، در حالی که امروزه سامانه‌های مکان‌یاب و نرم افزارهایی که در این زمینه تهیه شده‌اند، به سهولت آن کمک زیادی کرده‌اند. روش‌های نوین هدایت ماشین‌های کشاورزی نیز مستلزم تعیین موقعیت دقیق آن‌ها می‌باشد. این روش‌ها موجب افزایش بازده، کاهش خستگی راننده و بهبود عملیات در هنگام

۱- استادیار دانشکده کشاورزی، دانشگاه آزاد اسلامی واحد سنتج
(Email: hgoli@iausdj.ac.ir) نویسنده مسئول:

-۲- دانشیار گروه مهندسی ماشین‌های کشاورزی، دانشکده کشاورزی، دانشگاه

تربیت مدرس

دانشکده مهندسی و فناوری کشاورزی، استادیار گروه مهندسی ماشین‌های کشاورزی،
دانشگاه تهران

۶- دانشجوی دوره دکتری رشته مهندسی مکانیک بیوسیستم، دانشکده مهندسی و

فناوری کشاورزی، دانشگاه تهران

۷- استاد دانشکده کشاورزی، دانشگاه آزاد اسلامی واحد علوم و تحقیقات

دقیق‌تر مورد ارزیابی قرار گرفتند (Dussault *et al.*, 2001).

استفاده هم‌زمان از سه واحد موقعیت‌یاب جهانی (GPS)

در این روش از سه حسگر GPS واقع بر انتهای پروفیل‌های سبک آلومینیومی نصب شده بر روی یک روبات مجهرز به سامانه کنترل از راه دور (مطابق شکل ۱) استفاده گردید. از آنجا که موقعیت قرارگیری این سه حسگر نسبت به یکدیگر مشخص بوده تلفیق داده‌های آن‌ها موجب کاهش خطای اندازه‌گیری گردید. این سه حسگر طوری بر نقاط انتهایی پروفیل‌های آلومینیومی نصب شدند که واقع بر محیط یک دایره به شعاع ۳ متر بوده و از یکدیگر فواصل ثابت ۵/۲ متر داشته باشند. تعیین خطای این روش، با معلوم بودن موقعیت دقیق استقرار سه واحد GPS از یکدیگر، صورت پذیرفت. به این ترتیب که با در نظر گرفتن مختصات هر یک از واحدهای GPS مختصات مرکز دایره محاط بر آن‌ها محاسبه می‌شد، سپس با محاسبه اختلاف موقعیت این نقطه از نقطه متناظر بر روی مسیر خطکشی شده طبق شکل ۲، خطای مذکور محاسبه گردید. آزمایش‌های انجام شده در این پژوهش بر روی سطح خاک و در زمینی مسطح در شهر کرج صورت پذیرفت. در تعیین دقیق مختصات جغرافیایی نقطه شروع حرکت، از آزمون استاتیکی ۲۴ ساعته استفاده گردید. بدین ترتیب مختصات این نقطه از مقادیر دارای بیشترین فراوانی استخراج گردید. این نقطه دارای عرض جغرافیایی ۳۵°۴۷'۹۶.۰۹۶ درجه شمالی و طول جغرافیایی ۵۰°۵۹'۷۷۶۵ درجه شرقی بود. هدایت روبات در آزمایش‌ها، به صورت کنترل از راه دور توسط کاربر با در دست داشتن یک دسته کنترل صورت پذیرفت. معیار کنترل مسیر توسط کاربر، وزنه مخروطی شکل سنگینی (شاقول) بود که از امتداد گرانیگاه خود توسط یک نخ به وسط محور جلوی روبات متصل شده و بر روی مسیر رسم شده حرکت داده می‌شد.

استفاده از واحد اندازه‌گیری ماند (IMU)

روش دیگر مکان‌یابی به کار گیری واحد اندازه‌گیری ماند (IMU) بود. واحد اندازه‌گیری ماند مورد استفاده ساخت شرکت Sparkfun مدل SEN-02396 می‌باشد. در این واحد یک شتاب‌سنج^۱ سه محوری مدل ADXL345 مقدار مؤلفه شتاب حرکت خود را در امتداد زاویه‌ای با بردار عمود بر سطح زمین را اندازه‌گیری گرفت (LY530AL) و سومی سرعت‌های زاویه‌ای با بردارهای واقع در امتداد طولی و عرضی روبات را اندازه‌گیری می‌کرد (LPR530AL).

4- Accelerometer
5- Gyro

ژیروسکوپ فیبر نوری مجهرز نمودند. نتایج ارزیابی نشان داد که سامانه ناوبری هوشمند با تلفیق چندین حسگر ناوبری قادر است ماشین‌های کشاورزی را در زمین حاوی محصولات ردیفی بدون عبور از روی محصول هدایت نماید. همچنین ناگاساکا و همکاران (۲۰۰۶) از این سامانه ناوبری برای نشاکاری خودکار در مزارع برنج استفاده کردند. آزمایش‌های آن‌ها نشان داد که دقت نشاکاری با این روش در حد مطلوبی است ولی برای عملیات سمپاشی و وجین مکانیکی به دلیل حرکت در میان ردیف‌ها دارای دقت کافی نمی‌باشد.

حسگرها و وضعیت‌سنج با ترکیبی از سه ژیروسکوپ ارتعاشی و دو شیب‌سنج در پژوهش میزوشیما و همکاران (۲۰۱۱) به کار بردند. آزمایش‌ها در زمین‌های صاف، شبیدار و جاده دارای دستانداز انجام گرفت. در این آزمایش‌ها زوایای غلت و ناوشه^۲، زاویه راستای^۳ و سیله نقلیه و موقعیت با تصحیح خطای شبیه به سیله ترکیب با یک گیرنده GPS برآورد گردید. نتایج نشان داد که حسگر وضعیت‌سنج قادر است زوایای غلت، ناوشه و راستا را به ترتیب با حداقل ریشه میانگین مربعات خطای ۰/۶۱، ۰/۶۴ و ۰/۶۴ درجه برآورد کند. همچنین خطای مکان‌یابی در زمین‌های شبیدار از ۲۵/۹ به ۳ سانتی‌متر و در جاده دارای دستانداز از ۸/۴ به ۳/۷ سانتی‌متر کاهش پیدا کرد. در تحقیقات دیگری از ترکیب سرعت GPS با حسگر INS^۴ به منظور اندازه‌گیری زاویه لغزش خودرو و تایر هنگام دور زدن استفاده شده است (Bevly *et al.*, 2001; Ryu *et al.*, 2002).

از آنجا که حسگرها بسیار دقیق مانند سامانه موقعیت‌یاب تفاضلی (DGPS) علاوه بر هزینه بسیار بالا، دارای محدودیت‌های دسترسی هستند، در این پژوهش روش‌های مختلفی از تلفیق اطلاعات واحد موقعیت‌یاب جهانی و واحد اندازه‌گیری ماند به کمک فیلتر کالمن به کار گرفته شد تا روشی دقیق برای مکان‌یابی در کاربردهای کشاورزی با هزینه مناسب انتخاب شود.

مواد و روش‌ها

به کار گیری واحد موقعیت‌یاب جهانی (GPS) یکی از بهترین روش‌های مکان‌یابی، بدون نیاز به نقطه مبنای، به کار گیری گیرندهای GPS می‌باشد. هر چه تعداد ماهواره‌های بیشتری در دسترس واحد GPS باشد، دقت اندازه‌گیری و موقعیت‌یابی بالاتری خواهد داشت. Ublox NEO-5M مدل واحدهای GPS مورد استفاده در این تحقیق بود. از آنجا که داده‌های GPS در شرایط مطلوب (با در دسترس بودن هفت یا هشت ماهواره) دارای خطای بین یک تا دو متر می‌باشد، در پژوهشی روش‌های دیگری به منظور تعیین موقعیت

1- Roll and pitch angles

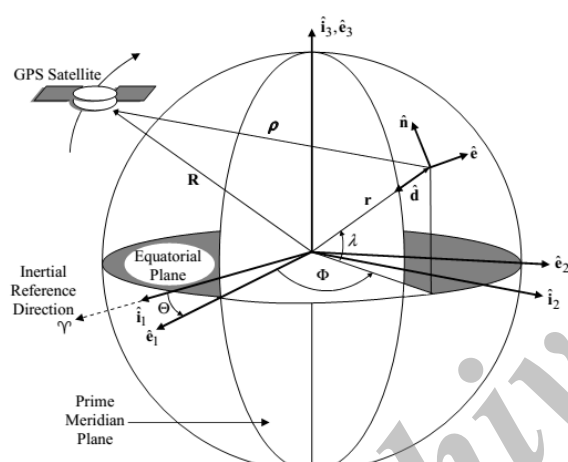
2- Heading angle

3- Inertial navigation system



شکل ۱- دو تصویر از روبات در حال حرکت بر روی مسیر رسم شده بر روی خاک هموار، برای ارزیابی روش‌های مکان‌یابی
Fig.1. The images of the robot moving on specified path to evaluate positioning methods on flat ground

مختصات در شکل ۳ قابل مشاهده‌اند (Crassidis, 2006).



شکل ۳- توصیف دستگاه‌های مختصات مورد استفاده بر سطح زمین
(Crassidis 2006)

Fig.3. Definitions of Various Reference (Crassidis 2006)
Frames

الف) دستگاه مختصات ماند پایه با مبدأ واقع در مرکز زمین^۲: دستگاه مختصات ECI وابسته به حرکت هیچ یک از سیارات نیست و گردش زمین نسبت به این مختصات قابل نمایش است. در روابط زیر بردارهای توصیف شده با این مختصات با بالاوند I نمایش داده می‌شوند. (مثالاً V^I یعنی بردار سرعت با توجه به مختصات ECI).

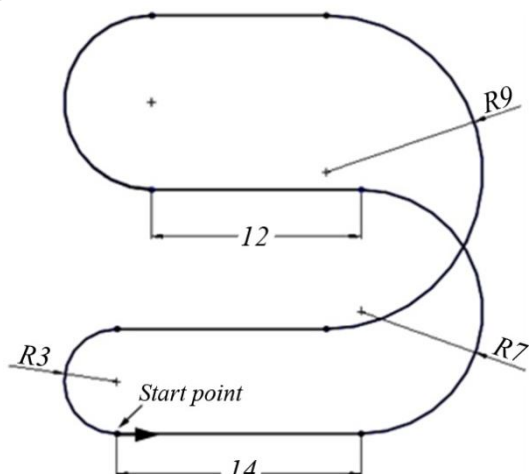
ب) دستگاه مختصات متصل به زمین با مبدأ واقع در مرکز زمین^۳: بر خلاف دستگاه مختصات ECI، دستگاه ECEF همراه با گردش زمین، دوران می‌کند و این زاویه دوران مطابق شکل ۳ با θ

2- Earth-centered inertial

3- Earth-centered-earth-fixed (ECEF) frame

چهارمین تراشه یک قطب‌نمای دیجیتال مدل HMC5843 بود. خروجی این چهار تراشه از طریق یک میکروکنترلر به رایانه ارسال می‌شد.

تلفیق داده‌های واحد اندازه‌گیری ماند و موقعیت‌یاب جهانی؛ در این روش داده‌های GPS به همراه داده‌های حسگر IMU در نرم افزار متلب به روش فیلتر کالمون^۱ تلفیق شدند. در تلفیق اطلاعات یکسان بودن مقیاس داده‌های تمام حسگرها ضروری است. بنابراین از روش تبدیل مختصات مرجع بدین منظور استفاده گردید.



شکل ۲- مسیر خطکشی شده بر روی خاک مسطح برای ارزیابی روش‌های تعیین موقعیت روبات (اندازه‌ها برحسب متر)

Fig.2. Drawn path on flat ground to evaluate positioning methods

دستگاه‌های مختصات مرجع که جهت استخراج معادلات GPS/IMU به کار رفته‌اند، به شرح زیر می‌باشند. این دستگاه‌های

1- Kalman filter

مقادیر a (شعاع بزرگ بیضی‌گون زمین که بر صفحه استوا واقع شده است)، b (شعاع کوچک بیضی‌گون زمین که عمود بر صفحه استوا است) و میزان خروج از مرکز بیضی‌گون (e) از مدل رایج WGS-۸۴^۴ به ترتیب عبارتند از: m ۶۳۷۸۱۳۷ m ۶۳۵۶۷۵۲/۳ و ۰/۰۸۱۸ (۸۵). سایر تبدیل‌های مورد استفاده، برای پرهیز از درازای مطالب آورده نشده‌اند.

استخراج معادلات از واحد اندازه‌گیری ماند (IMU)

واحد اندازه‌گیری ماند مورد استفاده در این تحقیق شتاب خطی و سرعت زاویه‌ای را در راستای سه محور عمود بر هم نمایش می‌دهد. به علاوه، زاویه قرارگیری راستای وسیله نقلیه نسبت به محور شمال مغناطیسی نیز توسط این واحد از طریق سه زاویه معین می‌گردد. لیکن به لحاظ سهولت تحلیل و اینکه حرکت روبات بر روی زمین نسبتاً هموار صورت گرفته و شبیه چندان نداشته است، در اینجا تحلیل معادلات در دو بعد صورت پذیرفت. به این منظور مؤلفه سرعت زاویه‌ای ($\dot{\theta}$) در امتداد عمود بر سطح زمین، به همراه دو مؤلفه شتاب خطی در امتداد محور طولی و عرضی روبات در نظر گرفته شد. ابتدا خروجی شتاب‌سنج‌ها به کمک ماتریس دوران R_B^N از مختصات واقع بر بدن وسیله نقلیه به مختصات NED توسط رابطه (۶) تبدیل گردید.

$$a^N = R_B^N \cdot a^B \quad (6)$$

که ماتریس دوران R_B^N در رابطه (۶) از رابطه (۷) نتیجه می‌گردد.

$$R_B^N = \begin{bmatrix} \cos \theta & -\sin \theta \\ \sin \theta & \cos \theta \end{bmatrix} \quad (7)$$

سپس مؤلفه‌های سرعت، می‌توانند با انتگرال‌گیری از مؤلفه‌های شتاب به دست آیند. بهمین ترتیب موقعیت متناظر با بردار شتاب از طریق انتگرال‌گیری از بردار سرعت محاسبه می‌شود. از طرفی مؤلفه‌های سرعت در دستگاه NED می‌توانند از طریق دوران

مؤلفه‌های سرعت در دستگاه واقع بر بدن و روبات نیز محاسبه شوند.

$$V^N = R_B^N \cdot V^B \quad (8)$$

با مشتق‌گیری از معادله (۸) نسبت به زمان رابطه (۹) به دست می‌آید:

$$\dot{V}^N = R_B^N \cdot \dot{V}^B + R_B^N \cdot V^B \quad (9)$$

که R_B^N در رابطه (۹) از رابطه (۱۰) به دست می‌آید.

$$R_B^N = \begin{bmatrix} 0 & -\dot{\theta} \\ \dot{\theta} & 0 \end{bmatrix} R_B^N \quad (10)$$

نشان داده می‌شود. بردارهای توصیف شده در این دستگاه با بالاوند E نمایش داده خواهند شد.

(ج) دستگاه مختصات شمال-شرق-پایین^۱ (NED): این دستگاه مختصات بهمنظر ناوبری محلی^۲ به کار می‌رود و با مماس کردن یک صفحه با سطح زمین در نقطه مورد نظر تشکیل می‌شود. بردارهای توصیف شده در دستگاه NED با بالاوند N نمایش داده خواهند شد.

(د) دستگاه مختصات واقع بر بدن وسیله نقلیه^۳: این دستگاه بر بدن وسیله نقلیه منطبق است و همراه با آن دوران می‌کند. هر یک از بردارهای یکه این دستگاه به طور دلخواه می‌توانند با امتداد وسیله نقلیه منطبق شوند. بردارهای توصیف شده در این دستگاه با بالاوند B نمایش داده شده‌اند.

تبدیل دستگاه‌های مختصات مرجع به بکدیگر

اطلاعات مخابره شده حسگرهای GPS از ماهواره‌هایی که موقعیت آن‌ها با دستگاه مختصات ECI تعیین می‌شود، با مبنای ECEF قابل انطباق است. همچنین موقعیت، سرعت و شتاب وسیله نقلیه در دستگاه NED حائز اهمیت بوده و نیز اطلاعات به دست آمده از حسگر IMU نصب شده روی بدن روبات، در دستگاه واقع بر بدن وسیله نقلیه معتبر است. بهمنظر یکسان‌سازی این اطلاعات و برای استخراج معادلات GPS/IMU، تبدیل‌های هر یک از این مختصات ECEF استخراج شده است. رابطه (۱) روش تبدیل مختصات به ECI را نمایش می‌دهد.

$$\begin{bmatrix} x \\ y \\ z \end{bmatrix}^E = \begin{bmatrix} \cos \theta & \sin \theta & 0 \\ -\sin \theta & \cos \theta & 0 \\ 0 & 0 & 1 \end{bmatrix} \begin{bmatrix} x \\ y \\ z \end{bmatrix}^I \quad (1)$$

برای تبدیل طول جغرافیایی (λ)، عرض جغرافیایی (Φ) و ارتفاع از سطح متوسط دریا (h) که خروجی حسگرهای GPS هستند به مختصات ECEF از روابط (۲) تا (۴) استفاده می‌شود.

$$x = (N+h) \cos \lambda \cos \Phi \quad (2)$$

$$y = (N+h) \cos \lambda \sin \Phi \quad (3)$$

$$z = [N(1-e^2)+h] \sin \lambda \quad (4)$$

در این روابط مقدار N (طول خط عمود بر بیضی‌گون^۴) در عرض جغرافیایی مورد نظر از رابطه (۵) محاسبه می‌شود.

$$N = \frac{a}{\sqrt{1-e^2 \sin \lambda}} \quad (5)$$

1- North-east-down frame

2- Local navigation

3- Body frame

4- Ellipsoid

$$x(k+1) = Ax(k) + Bu(k) + w(k) \quad (13)$$

در معادله فوق $w(k)$ نویز مدل‌سازی است. در اغلب تحقیقات مربوط به مکان‌یابی با استفاده از حسگرهای GPS و IMU این نویز را سفید، گوسی و دارای میانگین صفر فرض می‌کنند (Grewal and Andrews, 2011). معادله اندازه‌گیری نیز به قرار رابطه (14) می‌باشد:

$$y(k) = Cx(k) + v(k) \quad (14)$$

در رابطه (14)، $v(k)$ نویز اندازه‌گیری است و مانند نویز فرآیند، آن را سفید، گوسی و دارای میانگین صفر در نظر می‌گیرند. در روش فیلتر کالمن عمل تخمین در دو مرحله انجام می‌گیرد: مرحله نخست، مرحله تغییر حالت‌های فرآیند بین دو لحظه نمونه‌برداری است. این مرحله را به هنگام‌سازی زمانی^۴ گویند. مرحله بعد به هنگام‌سازی حالت فرآیند در لحظه k با دانستن مقدار (k) است. این مرحله به نام به هنگام‌سازی اندازه‌گیری^۵ شناخته می‌شود. در ترکیب اطلاعات واحد GPS و واحد اندازه‌گیری ماند، تلفیق ناقص^۶ داده‌ها مورد استفاده قرار گرفت، که نمودار روند نمای آن در شکل ۵ نمایش داده شده است.

نتایج و بحث

در این پژوهش تعیین موقعیت روبات به چهار روش صورت پذیرفت: از طریق به کار گیری یک واحد GPS به تنهایی، تلفیق سه واحد GPS، به کار گیری یک واحد اندازه‌گیری ماند (IMU) و تلفیق داده‌های یک واحد GPS و یک واحد اندازه‌گیری ماند. ابتدا به منظور افزایش دقیق در مکان‌یابی به کمک GPS و امکان یافتن امتداد قرار گیری روبات، از سه واحد موقعیت‌یاب جهانی مطابق شکل ۱، به طور همزمان استفاده شد. در شکل ۶ سامانه تعیین موقعیت روبات با یک واحد GPS و سه واحد GPS هنگام حرکت بر روی مسیر ارزیابی مورد مقایسه قرار گرفته است. در هنگام انجام آزمایش‌ها، تعداد ماهواره‌های قابل دسترسی بین هفت و هشت تغییر می‌کرد. خطای تعیین موقعیت به وسیله یک واحد GPS (با معیار ریشه میانگین مربعات خطأ) که منطبق بر وسط محور جلوی روبات واقع شده بود، برابر با $39/1\text{ cm}$ بود. آمد که این خطأ هنگام استفاده همزمان از سه واحد GPS تا $31/3\text{ cm}$ کاهش یافت. در روش دیگر تعیین موقعیت روبات، ترکیب اطلاعات حاصل از واحد مکان‌یاب جهانی (GPS) و واحد اندازه‌گیری ماند (IMU) به کار برده شد. همان‌طور که ذکر شد، واحد اندازه‌گیری ماند از سه حسگر مختلف سرعت زاویه‌ای، شتاب‌سنج و قطب‌نمای دیجیتال تشکیل شده است.

4- Time update

5- Measurement update

6- Loosely coupled integration

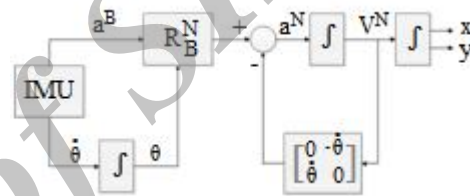
به عبارت دیگر رابطه (۹) را می‌توان به صورت رابطه (۱۱) بازنویسی کرد.

$$a^N = R_B^N \cdot a^B + \begin{bmatrix} 0 & -\dot{\theta} \\ \dot{\theta} & 0 \end{bmatrix} \cdot V^N \quad (11)$$

مقایسه روابط (۶) و (۱۱) نشان دهنده شتاب زاویه‌ای ایجاد شده در اثر دوران نسبی دستگاه واقع بر بدنه روبات به دستگاه NED می‌باشد. در نهایت مؤلفه‌های شتاب در دستگاه NED به کمک رابطه (۱۲) قابل محاسبه‌اند.

$$\begin{bmatrix} a_e \\ a_n \end{bmatrix} = \begin{bmatrix} \cos \theta & -\sin \theta \\ \sin \theta & \cos \theta \end{bmatrix} \begin{bmatrix} a_x \\ a_y \end{bmatrix} - \begin{bmatrix} 0 & \dot{\theta} \\ -\dot{\theta} & 0 \end{bmatrix} \begin{bmatrix} \cos \theta & -\sin \theta \\ \sin \theta & \cos \theta \end{bmatrix} \begin{bmatrix} -V_x \\ V_y \end{bmatrix} \quad (12)$$

در شکل ۴ نمودار روند نمای تحلیل داده‌های IMU نمایش داده شده است.



شکل ۴- الگوریتم محاسبه موقعیت روبات به کمک داده‌های IMU در حرکت دو بعدی

Fig.4. The robot positioning algorithm using IMU data in a two dimensional motion

با توجه به روابط فوق انتظار می‌رود به کمک داده‌های حاصل از IMU بتوان موقعیت روبات را به دقت تخمین زد. لیکن به دلیل وجود نویز در اندازه‌گیری‌ها، انتگرال گیری از داده‌ها موجب ایجاد خطای تجمعی در محاسبه مسیر خواهد شد. که برای غلبه بر این مشکل، روش فیلتر کالمن به کار گرفته شد.

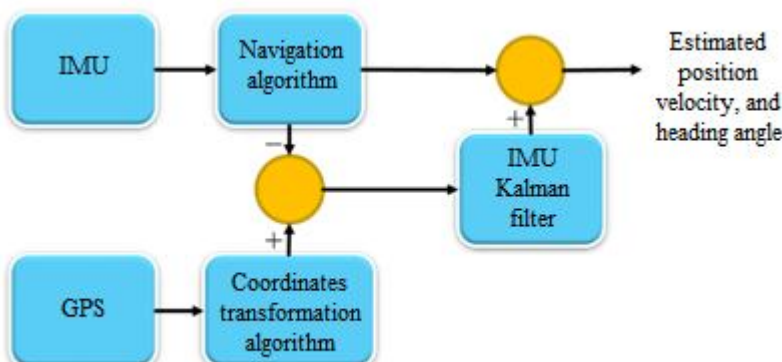
الگوریتم فیلتر کالمن

به کار گیری فیلتر کالمن، تخمین حالت سیستم‌های تصادفی^۱ به دست می‌آید. مزیت اصلی این فیلتر نسبت به سایر فیلترهای بازگشتی^۲ این است که در فیلتر کالمن برای تخمین حالت بعدی^۳ سیستم تنها از آخرین تخمین به دست آمده استفاده می‌کند. در این فیلتر دو متغیر تصادفی در نظر گرفته می‌شود که عبارت هستند از نویز فرآیند (مدل سازی) و نویز اندازه‌گیری. در این فیلتر معادله فرآیند به صورت رابطه (۱۳) است.

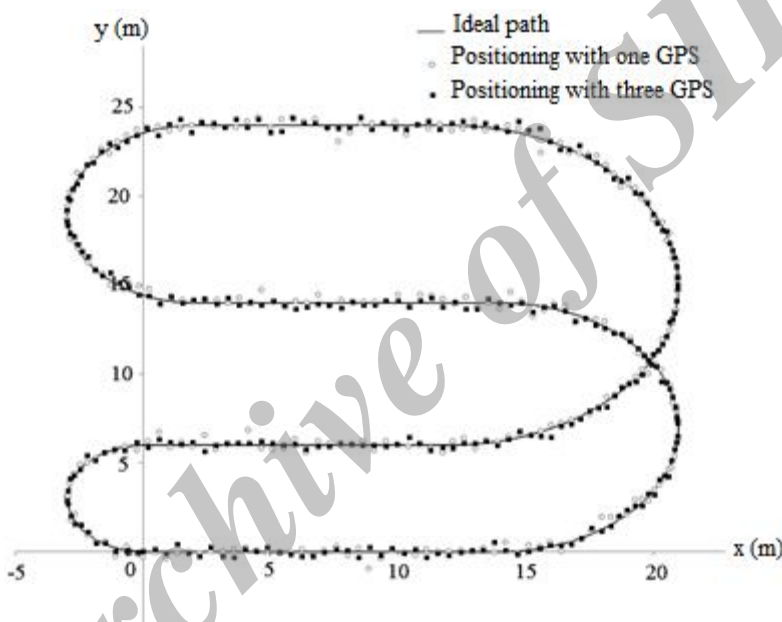
1- Stochastic systems state estimation

2- Recursive filters

3- Next state estimation



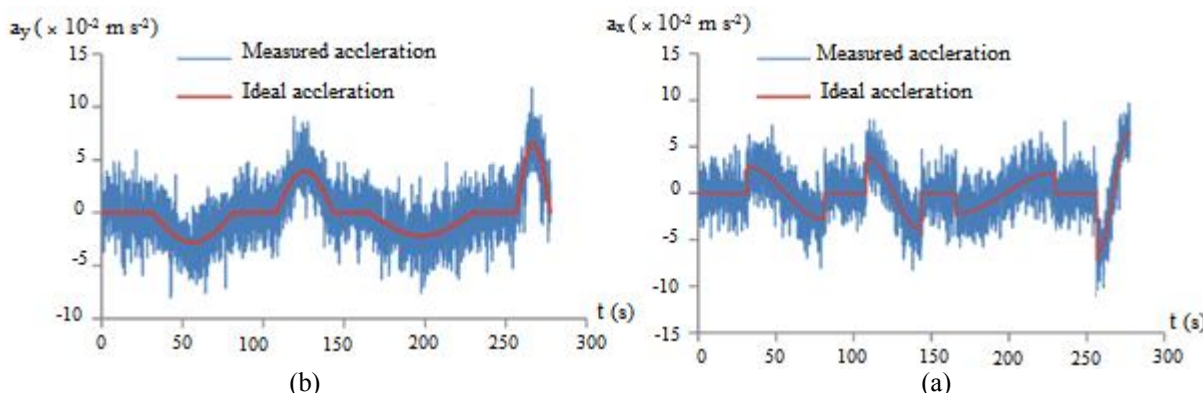
شکل ۵- ساختار تلفیق ناقص GPS/IMU به کمک فیلتر کالمان
Fig.5. Loosely coupled integration of GPS/IMU using kalman filter



شکل ۶- نمایش مسیر حرکت روبات توسط یک واحد مکان‌یاب جهانی و تلفیق سه واحد از آن
Fig.6. Travelled path and measured position using 1 and 3 GPS

روی مسیر ارزیابی روش‌های تعیین موقعیت، نمایش داده شده است. با توجه به فراوانی قطعات آهنی روبات و نیز وجود میدان‌های مغناطیسی در اطراف برخی قطعات الکترونیکی آن، واحد اندازه‌گیری ماند به دور از این قطعات، در انتهای یک لوله پلیمری و در یک محفظه پلاستیکی نصب گردید تا از اعتبار داده‌های قطب‌نمای دیجیتال کاسته نشود. لیکن ارتعاشات ناشی از روش‌بودن موتور و حرکت روبات بر روی خاک، در انتهای این لوله بلند، دامنه بیشتری پیدا کرده و عامل اصلی نوسانات مشاهده شده در شکل‌های ۷ و ۸ شده است.

تعیین موقعیت روبات به کمک واحد اندازه‌گیری ماند بیشتر به حسگر شتاب‌سنج آن وابسته است، به طوری که با انتگرال گرفتن از شتاب خطی روبات در امتداد x و y نسبت به زمان، موقعیت آن را نمایان می‌سازد. انتگرال گیری از شتاب مستلزم در اختیار داشتن سرعت اولیه است که مقدار آن از داده‌های واحد موقعیت یاب به دست آمده و محاسبه اندازه مؤلفه‌های آن در امتداد x و y روبات به کمک داده‌های قطب‌نمای دیجیتال صورت گرفت. در شکل‌های ۷ و ۸ به ترتیب مقادیر شتاب طولی (در امتداد محور x) و عرضی (در امتداد محور y) نسبت به زمان آزمایش بر روی مسیر ارزیابی عملکرد روبات، به همراه مقادیر تئوری پیش‌بینی شده (مورد انتظار هنگام حرکت بر

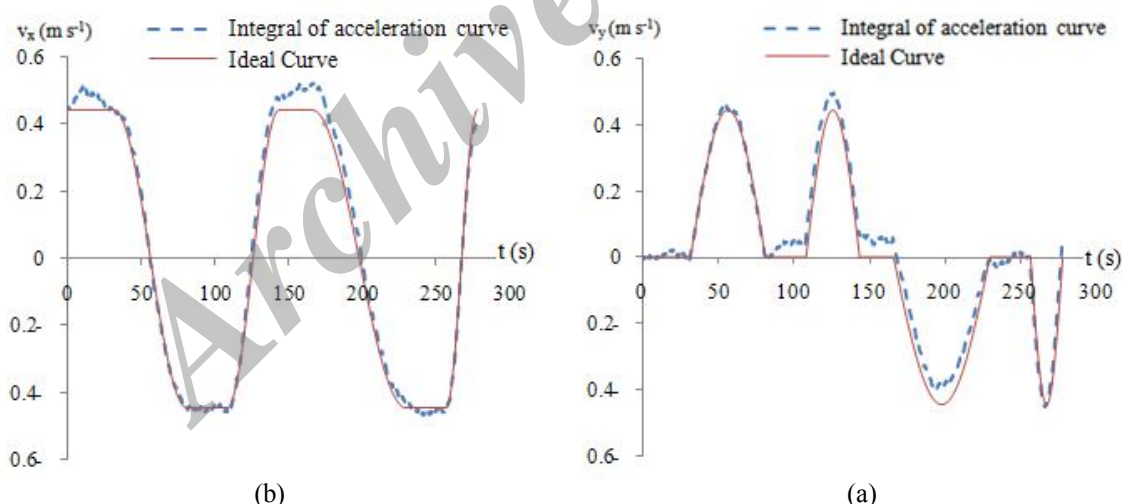


شکل ۷- داده‌های حسگر شتاب‌سنج نسبت به زمان، هنگام پیشروی روبات بر روی مسیر ارزیابی، به همراه نمودار پیش‌بینی شتاب براساس سرعت پیشروی ثابت در طول مسیر؛ (a) در امتداد محور طولی روبات، (b) در امتداد محور عرضی روبات

Fig.7. The robot accelerometer components and expected diagrams; (a) Along longitudinal axis, (b) Along lateral axis

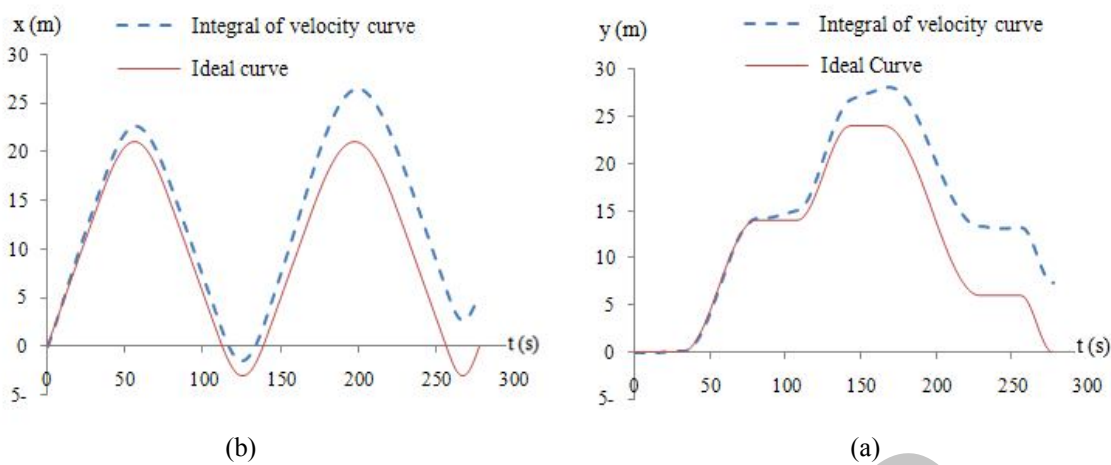
همان‌طور که دیده می‌شود، هنگام انتگرال‌گیری از مقادیر دارای نوسان شتاب، منحنی به دست آمده نوسان چندانی ندارد ولی به دلیل عدم رجوع به مقادیر حقیقی سرعت پیشروی، با گذشت زمان، محاسبه سرعت از طریق داده‌های حسگر شتاب‌سنج دچار خطای تجمعی می‌شوند. این موضوع در شکل‌های ۸ که به ترتیب منحنی‌های به دست آمده برای موقعیت طولی و عرضی روبات بر روی مسیر ارزیابی را نمایش می‌دهند، بیشتر به چشم می‌خورد.

با توجه به آغاز حرکت روبات، کمی پیش از شروع داده‌برداری، سرعت ثابت پیشروی روبات هنگام حرکت بر روی مسیر ارزیابی برابر $1/6$ کیلومتر بر ساعت در امتداد محور طولی زمین آزمایش نضمین شده بود. بنابراین می‌توان از نمودارهای شتاب طولی و عرضی روبات با توجه به مقدار اولیه سرعت پیشروی انتگرال گرفت. شکل ۸(a) و (b) به ترتیب نمودار مُؤلفه‌های طولی و جانبی سرعت پیشروی روبات را به همراه نمودار پیش‌بینی آن نمایش می‌دهد.



شکل ۸- نمودار سرعت پیشروی روبات هنگام حرکت بر روی مسیر ارزیابی آن، به همراه منحنی پیش‌بینی مربوطه؛ (a) در امتداد محور طولی روبات، (b) در امتداد محور عرضی روبات

Fig.8. The robot speed components and expected diagrams; (a) Along longitudinal axis, (b) Along lateral axis

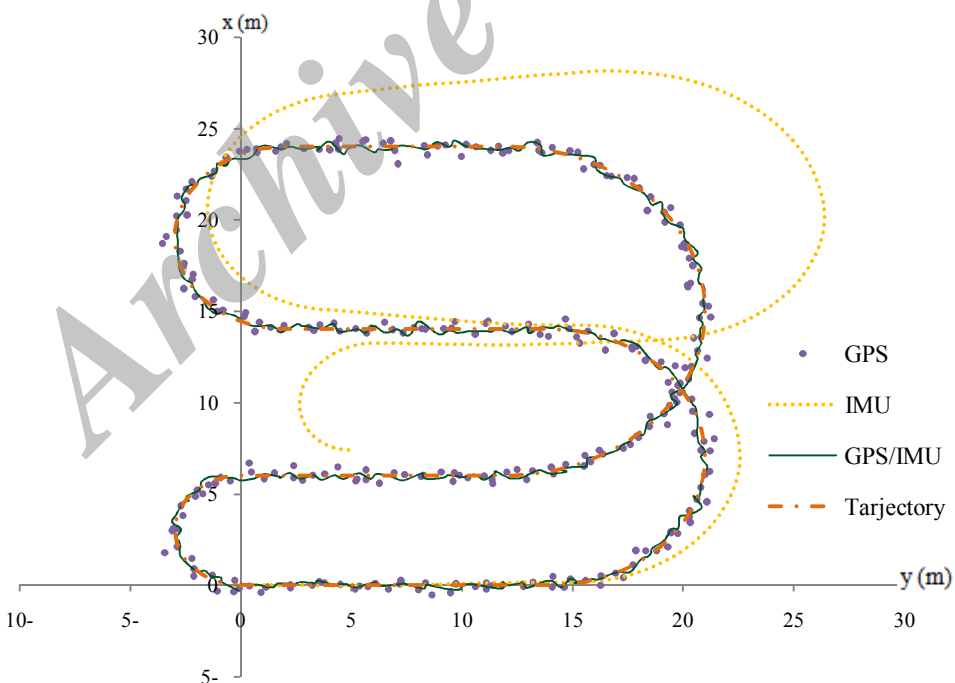


شکل ۹- منحنی به دست آمده از انتگرال گیری سرعت پیش روی روبات، همراه با منحنی پیش‌بینی مربوطه؛ (a) در امتداد محور طولی روبات، (b) در امتداد محور عرضی روبات

Fig.9. Calculated position and expected diagrams, (a) Along longitudinal axis,(b) Along lateral axis

کاسته شود. در شکل ۱۰ مکان‌یابی روبات بر روی مسیر ارزیابی از طریق واحد مکان‌یاب جهانی (GPS)، واحد اندازه‌گیری ماند (IMU) و تلفیق اطلاعات این دو واحد به نمایش درآمده است. در این آزمایش با تلفیق داده‌های واحدهای GPS و IMU خطای تعیین موقعیت روبات $23/4\text{cm}$ به دست آمد.

از آنجا که واحد اندازه‌گیری ماند با فواصل زمانی بسیار کمتری (در اینجا ده برابر) نسبت به داده‌های واحد مکان‌یاب جهانی به روز می‌شوند و از طرفی با توجه به خطای تجمعی ایجاد شده در تعیین موقعیت روبات به وسیله واحد اندازه‌گیری ماند، برای مکان‌یابی روبات از تلفیق داده‌های این دو واحد استفاده شد تا افزون بر کاهش زمان به روزرسانی اطلاعات مکان روبات، از خطای تعیین موقعیت آن نیز

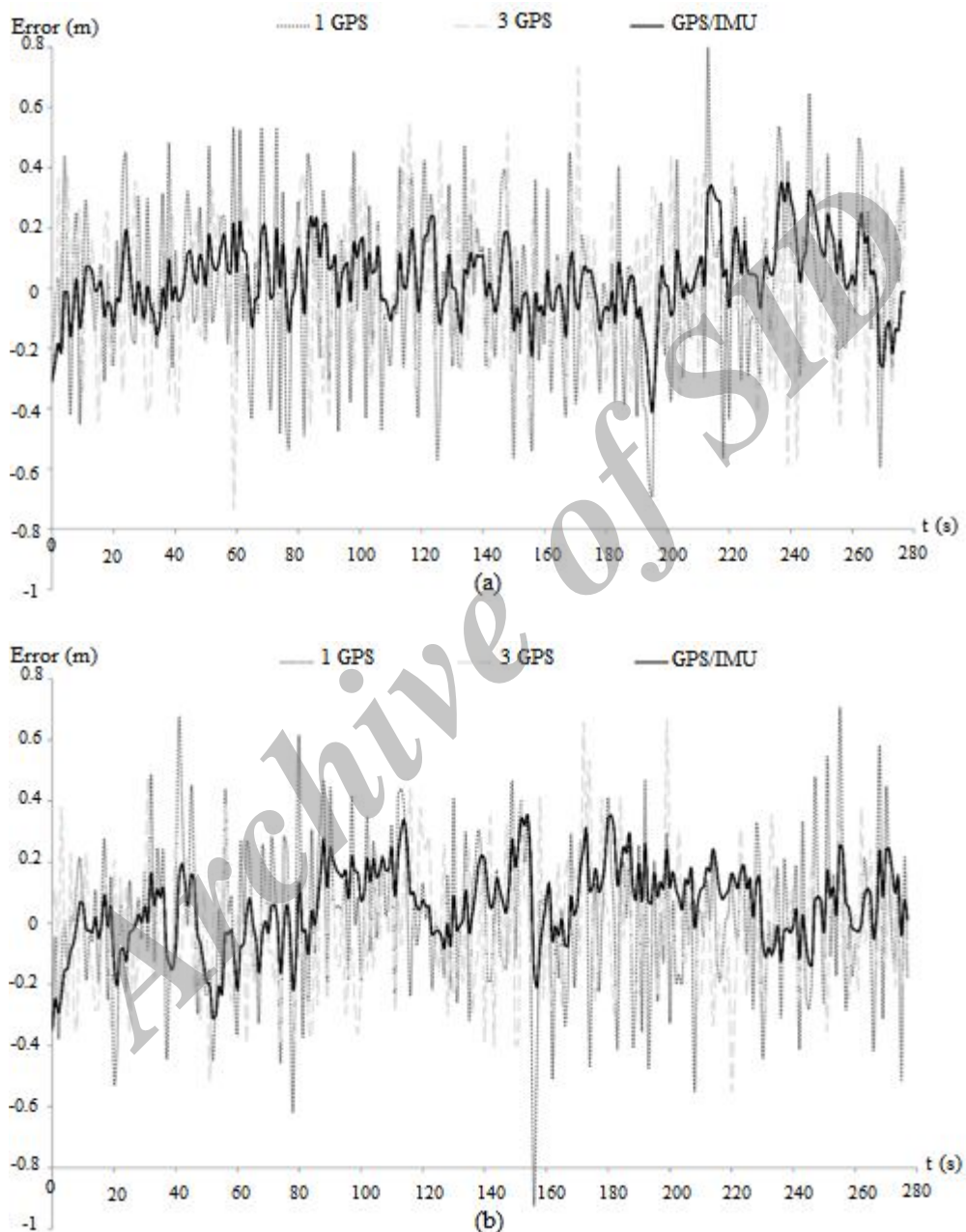


شکل ۱۰- نمایش مسیر حرکت روبات توسط واحد مکان‌یاب جهانی، واحد اندازه‌گیری ماند و تلفیق آن‌ها با یکدیگر

Fig.10. Measured robot position using GPS, IMU and GPS/IMU integration

می‌باشد. از آنجا که خطای به کارگیری واحد اندازه‌گیری ماند با گذشت زمان افزایش زیادی پیدا می‌کند و از مقیاس خطای سایر روش‌ها فراتر می‌رود، از نمایش آن در این شکل خودداری شده است. این مقدار خطأ از نمودارهای نمایش داده شده در شکل ۹ قابل مشاهده است.

در شکل ۱۱ خطای روش‌های مختلف تعیین موقعیت در دو امتداد x و y نسبت به زمان هنگام حرکت روبات روی مسیر ارزیابی روش‌های تعیین موقعیت نمایش داده شده است. همان‌طور که در این شکل مشاهده می‌شود، تلفیق داده‌های GPS و IMU دارای دقت بالاتری نسبت به سایر روش‌های مورد بررسی در این تحقیق



شکل ۱۱- نمودار خطای روش‌های مختلف تعیین موقعیت؛ (a) در امتداد محور x ، (b) در امتداد محور y

Fig.11. Error diagram of different positioning methods; (a) along x axis (b) along y axis

نتیجه‌گیری

همچنین بررسی داده‌های به دست آمده از واحد اندازه‌گیری ماند نشان داد که کاربرد این وسیله به تهایی، به دلیل وجود خطاهای تجمعی، برای تعیین موقعیت مناسب نمی‌باشد.

تشکر و قدردانی

بخشی از این پژوهش با حمایت مالی معاونت پژوهشی پردیس کشاورزی و منابع طبیعی دانشگاه تهران طی طرح پژوهشی شماره ۷۱۰۹۰۱۵/۱۰۷ اجرا شده است، که بدین وسیله مورد تشکر و قدردانی قرار می‌گیرد.

مقایسه چهار روش تعیین موقعیت با معیار ریشه میانگین مربعات خطای نشان داد که با تلفیق داده‌های یک سامانه مکان‌یاب جهانی و یک واحد اندازه‌گیری ماند به کمک فیلتر کالمون، نسبت به روش‌های دیگر، دقت بالاتری در مکان‌یابی به دست می‌آید. گرچه روش مذکور در مقابل به کارگیری تجهیزات پیچیده‌تری چون DGPS دقت کمتری دارد، لیکن این روش به دلیل سهولت دسترسی و هزینه مناسب آن قابلیت بالایی در مکان‌یابی دارد. به کارگیری سه واحد GPS به طور همزمان که در موقعیت‌های ثابت و با فاصله نسبتاً دور از یکدیگر نصب شده‌اند، نیز در رتبه بعدی این مقایسه قرار گرفت.

منابع

- Alonso-Garcia, S., J. Gomez-Gil, and J. I. Arribas. 2011. Evaluation of the use of low-cost GPS receivers in the autonomous guidance of agricultural tractors. *Spanish Journal of Agricultural Research* 9: 377-388.
- Bevly, D. M., R. Sheridan, and J. C. Gerdes. 2001. Integrating INS sensors with GPS velocity measurements for continuous estimation of vehicle sideslip and tire cornering stiffness. *IEEE Proceedings of the American Control Conference* 1: 25-30. Arlington, VA.
- Caron, F., E. Duflos, D. Pomorski, and P. Vanheeghe. 2006. GPS/IMU data fusion using multisensor Kalman filtering: introduction of contextual aspects. *Information Fusion* 7: 221-230.
- Crassidis, J. L. 2006. Sigma-point Kalman filtering for integrated GPS and inertial navigation. *IEEE Transactions on Aerospace and Electronic Systems* 42: 750-756.
- Daily, R., and D. M. Bevly. 2004. The use of GPS for vehicle stability control systems. *IEEE Transactions on Industrial Electronics* 51: 270-277.
- Dijksterhuis, H., L. Van Willigenburg, and R. Van Zuydam. 1998. Centimetre-precision guidance of moving implements in the open field: a simulation based on GPS measurements. *Computers and Electronics in Agriculture* 20: 185-197.
- Dussault, C., R. Courtois, J. P. Ouellet, and J. Huot. 2001. Influence of satellite geometry and differential correction on GPS location accuracy. *Wildlife Society Bulletin* 29: 171-179.
- Gomez-Gil, J., S. Alonso-Garcia, F. J. Gómez-Gil, and T. Stombaugh. 2011. A simple method to improve autonomous GPS positioning for tractors. *Sensors* 11: 5630-5644.
- Grewal, M. S., and A. P. Andrews. 2011. Kalman filtering: theory and practice using MATLAB. Wiley-IEEE press.
- Hague, T., J. Marchant, and N. Tillett. 2000. Ground based sensing systems for autonomous agricultural vehicles. *Computers and Electronics in Agriculture* 25: 11-28.
- Keicher, R., and H. Seufert. 2000. Automatic guidance for agricultural vehicles in Europe. *Computers and Electronics in Agriculture* 25: 169-194.
- Lenain, R., B. Thuilot, C. Cariou, and P. Martinet. 2006. High accuracy path tracking for vehicles in presence of sliding: Application to farm vehicle automatic guidance for agricultural tasks. *Autonomous Robots* 21: 79-97.
- Li, M., K. Imou, K. Wakabayashi, and S. Yokoyama. 2009. Review of research on agricultural vehicle autonomous guidance. *International Journal of Agricultural and Biological Engineering* 2: 1-16.
- Miguel Angel, S. 2003. Lateral control strategy for autonomous steering of ackerman-like vehicles. *Robotics and Autonomous Systems* 45: 223-233.
- Mizushima, A., K. Ishii, N. Noguchi, Y. Matsuo, and R. Lu. 2011. Development of a low-cost attitude sensor for agricultural vehicles. *Computers and Electronics in Agriculture* 76: 198-204.
- Nagasaki, Y., N. Umeda, Y. Kanetai, K. Taniwaki, and Y. Sasaki. 2004. Autonomous guidance for rice transplanting using global positioning and gyroscopes. *Computers and Electronics in Agriculture* 43:

223-234.

17. Noguchi, N., K. Ishii, and H. Terao. 1997. Development of an agricultural mobile robot using a geomagnetic direction sensor and image sensors. *Journal of Agricultural Engineering Research* 67: 1-15.
18. O'Connor, M., T. Bell, G. Elkaim, and B. Parkinson. 1996. Automatic steering of farm vehicles using GPS. Pages 767-778. *Proceedings of the 3rd international conference on precision agriculture*, Minneapolis, Minnesota, US.
19. Reid, J. F., Q. Zhang, N. Noguchi, and M. Dickson. 2000. Agricultural automatic guidance research in North America. *Computers and Electronics in Agriculture* 25: 155-167.
20. Rodríguez, M., and J. Gómez. 2009. Analysis of three different kalman filter implementations for agricultural vehicle positioning. *Open Agriculture* 3: 13-19.
21. Ryu, J., E. J. Rossetter, and J. C. Gerdes. 2002. Vehicle side slip and roll parameter estimation using GPS. *Proceedings of AVEC 6th International Symposium on Advanced Vehicle Control*, Hirishima, Japan.
22. Stoll, A., and H. Dieter Kutzbach. 2000. Guidance of a forage harvester with GPS. *Precision Agriculture* 2: 281-291.
23. Subramanian, V., T. F. Burks, and A. A. Arroyo. 2006. Development of machine vision and laser radar based autonomous vehicle guidance systems for citrus grove navigation. *Computers and Electronics in Agriculture* 53: 130-143.
24. Thomas, B. 2000. Automatic tractor guidance using carrier-phase differential GPS. *Computers and Electronics in Agriculture* 25: 53-66.
25. Tillett, N. 1991. Automatic guidance sensors for agricultural field machines: a review. *Journal of Agricultural Engineering Research* 50: 167-187.
26. Zhang, Q., J. F. Reid and N. Noguchi. 1999. Agricultural vehicle navigation using multiple guidance sensors. *Proceedings of the International Conference on Field and Service Robotics*: Pages 293-298. Pittsburgh, PA, USA.